

10; 12

© 1990 г.

## РЕЖИМ СЕПАРАЦИИ В НИЖНЕЙ ВЕРШИНЕ ПРОМЕЖУТОЧНОЙ ЗОНЫ СТАБИЛЬНОСТИ

*Н. В. Коненков, Г. А. Могильченко, С. С. Силаков*

Представлены результаты теоретического и экспериментального исследования нового режима сепарации в нижней вершине промежуточной зоны стабильности, локализованной вблизи параметров  $a=3$ ,  $q=3.2$ . Определены эффективная апертура КФМ, эффективные значения поперечных скоростей ионов при вводе. Рассчитана трансмиссия, дана оценка разрешающей способности КФМ, определяемой временем сортировки ионов. Установлен аппаратурный режим работы в указанной области.

### Введение

Для ряда практических приложений, таких как масс-спектрометрия вторичных ионов [1], tandemная масс-спектрометрия [2], газовый анализ, может оказаться полезным разделение ионов по массам в режиме сепарации ряда областей  $a$ ,  $q$  параметров квадрупольного фильтра масс (КФМ). В данной работе рассматриваются ионно-оптические свойства промежуточной зоны стабильности, локализованной вблизи параметров  $a=2.6$ ,  $q=2.9$  [3].

Природная «география» промежуточной зоны стабильности допускает аппаратурную перестройку полосы пропускания в двух областях, локализованных вблизи вершины  $M$  с координатами  $q_M=3.2341$ ,  $a_M=3.1643$  и нижней вершине  $S$  с координатами  $q_S=2.8153$ ,  $a_S=2.5210$ .

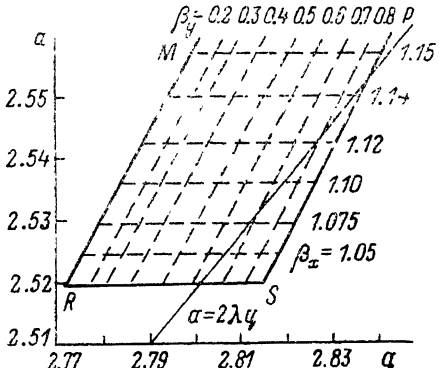


Рис. 1. Рабочая область промежуточной зоны стабильности в нижней вершине  $S$ .  
 $a=2\lambda q$  — линия сканирования.

Некоторые характеристики режима сепарации в верхней вершине изучались теоретически ранее [3], но практического применения он не нашел. Мы связываем это с успехами освоения первой области стабильности ( $0 < q < 0.908$ ) [4, 5], а также отрицательными факторами изучаемой зоны: более высокими рабочими напряжениями ВЧ генератора (в 4.5 раза по сравнению с обычным режимом), более значительными постоянными краевыми полями (в 10.5 раз превышающие обычный режим), конечностью полосы пропускания ( $q/\Delta q \geq 25-36$ ).

Целью данной работы явилось изучение условий ввода ионов, трансмиссии, влияние времени сортировки на разрешающую способность КФМ, работающего в режиме сепарации нижней вершины промежуточной зоны.

# 1. Рабочая область стабильности

На рис. 1 показана детально рабочая область  $a, q$  параметров КФМ с вершиной  $S$  промежуточной зоны стабильности. Прямые  $RM$  и  $SP$  соответствуют  $y$ -границам, а  $RS$  —  $x$ -границе. Указанные границы рассчитывались численными методами, поскольку уравнения этих кривых представляют собой трансцендентные уравнения в форме бесконечных цепных дробей [6]. Число элементов дроби в расчетах выбиралось равным 200.

На рис. 1 также приведены рассчитанные изолинии характеристических показателей  $\beta_x$  и  $\beta_y$ , определяющих спектральный состав колебаний ионов по двум взаимно перпендикулярным осям  $x$  и  $y$  анализатора.

Уравнение линии сканирования  $a=2 \lambda q$  показано для случая  $\lambda=0.445$  и с относительной полосой пропускания КФМ  $q_s/\Delta q=78$ . Зависимость относительной полосы пропускания  $m/\Delta m$  (или разрешающей способности  $R$ ) от величины  $\lambda$  может быть представлена в виде

$$R \equiv \frac{m}{\Delta m} = \frac{q_s}{\Delta q} = \frac{0.1670}{\lambda - \lambda_s} = \frac{0.9374}{a_0 - a_s}, \quad (1)$$

где  $m$  — масса анализируемого иона,  $\Delta q$  — полоса пропускания по оси  $q$ ,  $\lambda = U/V$  — отношение постоянного  $U$  к амплитуде  $V$  переменного напряжения на электродах КФМ,  $\lambda_s = a_s/2q_s = 0.44773$ ,  $a_0 = 2\lambda q_s$ .

Как следует из рис. 1, максимум полосы пропускания соответствует случаю, когда линия сканирования проходит через точку  $P$ . При  $\lambda=\lambda_P$  величина  $R$  минимальна и равна 25. В области верхней вершины  $M$  минимальное значение  $R \approx 36$ . Сравнение координат вершин  $S$  и  $M$  указывает, что в нижней вершине  $S$  удельная амплитуда  $V/m$  на 15 % меньше и максимальная полоса  $\Delta m$  шире в полтора раза.

## 2. Условия ввода ионов

Для согласования источника ионов и квадрупольного анализатора важно знать эффективную апертуру КФМ и максимальные значения поперечных скоростей  $\dot{x}_0, \dot{y}_0$  влета ионов. Эффективная апертура КФМ может быть определена как максимально возможные начальные положения ионов  $x_0, y_0$ , усредненные по фазе влета за период ВЧ поля. Для краткости обозначим  $x, y$  через  $u$ . Величины  $u_0, \dot{u}_0$  зависят от параметров  $a, q$  и, следовательно, от разрешающей способности  $R$  (1), фазы влета ВЧ поля, длины анализатора, качества поля, характера краевых полей, времени сортировки.

Исследуем наиболее простой случай, когда предполагается, что время сортировки ионов велико, характер распределения поля гиперболический, влияние кра-

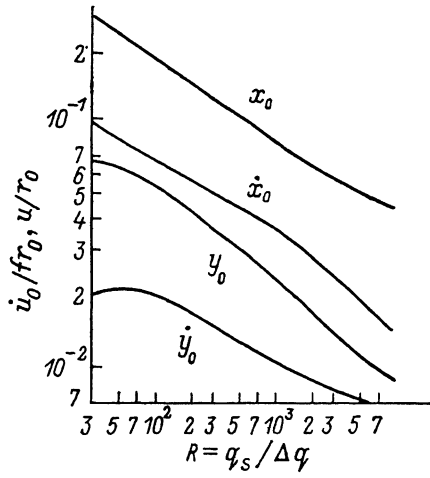


Рис. 2. Зависимости эффективной апертуры  $u_0$  и поперечной скорости  $\dot{u}_0$  КФМ от относительной полосы пропускания  $q_s/\Delta q$ .

вых полей мало. Учет последнего фактора теоретически сложен [7] и его конкретное влияние можно определить в конечном счете только экспериментально.

На рис. 2 представлены зависимости  $u_0, \dot{u}_0$  от полосы пропускания КФМ, характеризуемой величиной  $R$  (1). Зависимости  $u_0(R)$  соответствуют параллельному входу пучка ионов относительно продольной оси  $z$  КФМ ( $\dot{u}_0=0$ ), а  $\dot{u}_0(R)$  — узкому пучку ионов, падающему под некоторым углом к оси  $z$  анализатора вблизи точки  $u_0=0$ .

Данные рис. 2 получены на основе численного расчета параметров А, В, Г эллипсов захвата матричным методом [8] с шагом  $\Delta \xi = \pi/400$ , где  $\xi = \omega t/2$  —

параметр времени  $t$ ,  $\omega = 2\pi f$  — круговая частота. Эффективные значения  $u_0$ ,  $\dot{u}_0$  определялись интегрированием зависимостей  $u_0(\xi_0)$  и  $\dot{u}_0(\xi_0)$  методом трапеций с шагом  $\Delta \xi_0 = \pi/20$ , где  $\xi_0$  — начальная фаза влета ионов.

Сравнение аналогичных характеристик обычного режима сепарации [8] и исследуемого показывает, что значения параметров  $u_0$ ,  $\dot{u}_0$  такого же порядка, за исключением того, что величины  $x_0$ ,  $\dot{x}_0$  в два раза выше при более высоких значениях разрешающей способности ( $\sim 5000$ ).

Характер поведения  $u_0(R)$  и  $\dot{u}_0(R)$  аналогичен случаю режима сепарации в верхней вершине  $M$ , при этом величины  $u_0$ ,  $\dot{u}_0$  незначительно выше.

### 3. Форма массового пика и трансмиссия КФМ

Расчет трансмиссии КФМ производился методами [8], как и в случае раздела 2. Трансмиссия  $T$  характеризует долю прошедших ионов через КФМ при исходном распределении начальных координат и скоростей ионов на входе в анализатор. Величина  $T$  рассчитывалась по формуле

$$T = \left( \sum_{i=1}^P \sum_{j=0}^M \sum_{k=1}^N T_{ij}^x \cdot T_{ik}^y \right) / (P \cdot M \cdot N), \quad (2)$$

где  $P = 20$  — число интервалов разбиения начальной фазы влета ионов;  $T_{ij}^x$ ,  $T_{ik}^y$  — матрицы, соответствующие пропусканию ионов по координатам  $x$ ,  $y$

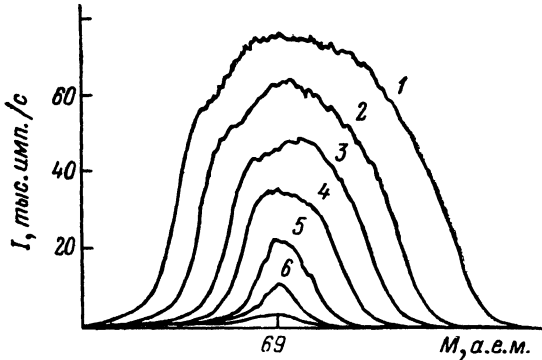
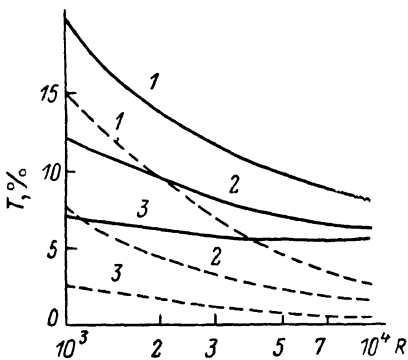


Рис. 3. Зависимости трансмиссии КФМ при различных значениях эффективной апертуры  $r_a$  квадратного сечения ионного пучка  $\eta = (r_a/r_0)^2 \cdot 100\%$ .

1 — 0.1, 2 — 0.25, 3 — 1 %. Сплошные линии — режим сепарации в нижней вершине  $S$ , штриховые — в верхней вершине  $M$  ( $\dot{u}=0$ ).

Рис. 4. Форма массового пика ионов  $\text{CF}_3^+$  при напуске в камеру анализа перфортрибутиламина до давления  $2 \cdot 10^{-5}$  Па.

Энергия ионов 15 эВ. Ток электронной эмиссии 40 мА.  $R_{0.5}$ : 1 — 100, 2 — 134, 3 — 180, 4 — 250, 5 — 410, 6 — 600.

и состоящие из нулей и единиц, причем элементы этих матриц равны единице, если амплитуда колебаний иона по соответствующей координате меньше радиуса поля  $r_0$ ;  $i$  — номер интервала  $\Delta \xi = \pi/20$  фазы влета;  $j$ ,  $k$  — номера начальных координат и скоростей по осям  $x$  и  $y$ .

В расчетах выбиралось  $N = M = 40$ , что обеспечивало моделирование потока ионов с числом 32 000 за время, равное периоду ВЧ поля.

На рис. 3 представлены зависимости трансмиссии при различных значениях эффективной апертуры пучка квадратного сечения для случая параллельного ввода ионов относительно оси  $z$  анализатора ( $\dot{u}_0 = 0$ ). Штриховой линией отмечены зависимости  $T(R)$  для режима сепарации в верхней вершине  $M$  промежуточной зоны стабильности.

Сравнение данных рис. 3 дает, что при высоких значениях  $R$  трансмиссия в режиме сепарации нижней вершины  $S$  (рис. 1) выше, чем в верхней вершине  $M$  промежуточной области.

На рис. 4 показана экспериментально наблюдаемая форма массового пика ионов  $\text{CF}_3^+$  ( $M = 69$ ) при различных значениях полосы пропускания КФМ.

Данные получены на КФМ с электродами длиной 15 см и диаметром 8 мм. Диаметр входной апертуры КФМ составлял 3 мм. Рабочая частота ВЧ генератора  $f=1$  МГц, что обеспечивало значение удельной амплитуды  $V/m \approx 4$  В/а. е. м. Открытого типа источник ионов имел простую конструкцию. Как показал опыт, форма массового пика более совершенна, чем в обычном режиме сепарации в первой области; пик меньше подвержен искажениям условиями ввода и качеством поля.

Чувствительность в режиме газового анализа в 5—10 раз выше, чем в обычном режиме из-за более эффективной работы источника ионов при повышенных энергиях ионов.

#### 4. Влияние времени сортировки на разрешающую способность

Для разделения потока ионов, двигающихся по стабильным и нестабильным траекториям, необходимо определенное время сортировки. Это время характеризуют числом  $n$  периодов ВЧ поля пребывания анализируемого иона в фильтре масс [4, 5].

При изменении  $0.5 < \beta_y < 1$  и  $1 < \beta_x < 1.5$  в области вершины (рис. 1) наименшие частоты гармоник колебаний ионов составляют [6]

$$\Omega_y = (1 - \beta_y) \frac{\omega}{2}, \quad \Omega_x = (\beta_x - 1) \frac{\omega}{2}. \quad (3)$$

Анализ траекторий ионов при полосе пропускания КФМ  $m/\Delta m = 502$  показывает, что необходимое время ухода ионов, двигающихся с экспоненциально возрастающими амплитудами, на  $x$ -электроды анализатора составляет половину периода  $2\pi/\Omega_x$ , а на  $y$ -электроды — один период  $2\pi/\Omega_y$ . Для первой области это время равно одной четверти периода [8]. В соответствии с [8] находим, что

$$n_x \approx \frac{1}{(\beta_x - 1)}, \quad n_y \approx \frac{4}{(1 - \beta_y)}, \quad (4)$$

где  $n_x$  и  $n_y$  — необходимые значения чисел периодов фильтрации для обеспечения отсечки ионов КФМ на границах  $RS$  и  $SP$  (рис. 1) соответственно.

Численный расчет зависимостей  $R(\beta_x)$ ,  $R(\beta_y)$  с помощью (1) при  $q=q_s$  дает оценку

$$R_x \approx 0.63n^2, \quad R_y \approx 1.78n^2. \quad (5)$$

Из (5) следует, что ограничение разрешающей способности конечностью времени сепарации в режиме работы нижней вершины  $S$  (рис. 1) снижается в 3—4 раза по сравнению с обычным режимом, поскольку для первой области [8]

$$R_x = n^2/5.43, \quad R_y = n^2/2.23. \quad (6)$$

Более резкая отсечка на  $y$ -границе зоны стабильности (рис. 1) обусловлена более сильной зависимостью полосы пропускания КФМ от величины  $\beta_y$ , чем  $\beta_x$ .

Из рис. 4 следует, что ограничение разрешающей способности временем сортировки наступает при  $R_{0.5} = 600$ . В результате имеем  $R_{0.5} \approx 1.1n^2$ , в то время как для режима сепарации в первой области в лучшем случае [5]  $R_{0.5} = n^2/10.5$ . Таким образом, при равном количестве периодов  $n$  разрешающая способность выше на порядок, чем в обычном режиме. В нижней вершине  $S$  достижение разрешающей способности  $R$ , близкой к теоретической (5), обусловлено тем, что интенсивность массового пика падает приближенно как  $I \sim 1/R_{0.5}$  (рис. 4); для обычного режима  $I \sim 1/R_{0.5}^2$  [5].

Важно отметить, что значение разрешающей способности в режиме сепарации верхней вершины  $M$  в 3—4 раза выше, чем в нижней вершине  $S$  промежуточной зоны стабильности. Это связываем с тем, что отсечка со стороны тяжелых масс ионов КФМ в верхней вершине  $M$  происходит на  $y$ -электродах, а в режиме сепарации нижней вершины  $S$  (рис. 1) на  $x$ -электродах.

Укажем также на то, что в зависимости  $R = hn^2$  коэффициент  $h$  в сильной мере зависит от согласования источника ионов с анализатором, от качества

поля КФМ [5]. Для исследуемого режима сепарации характерно достижение предельной разрешающей способности с большим запасом по выходному сигналу, что отражено на рис. 4 и подтверждается данными рис. 3.

## Выводы

1. Установлен аппаратурный режим работы в нижней вершине промежуточной зоны стабильности КФМ.
2. Определены условия ввода ионов КФМ без учета влияния краевых полей. Получено, что эффективная апертура КФМ и эффективные значения по перечных скоростей при высоких значениях разрешающей способности того же порядка, что и в первой области.
3. Трансмиссия КФМ в два раза выше при высоких значениях  $R$ , чем в режиме сепарации верхней вершины промежуточной зоны.
4. При одном и том же числе периодов фильтрации разрешающая способность выше на порядок, чем в первой области, и в 2–3 раза ниже, чем в режиме сепарации верхней вершины промежуточной области.
5. Для достижения высокой разрешающей способности предпочтительно использовать режим сепарации в верхней вершине промежуточной зоны стабильности.

## Список литературы

- [1] Черепин В. Т. Ионный зонд. Киев: Наукова думка, 1981. 434 с.
- [2] Glish C. L., McLuckey S. A. // Analyt. Instrum. 1986. Vol. 15 (1). P. 1–36.
- [3] Dawson P. H. // J. Vac. Sci. Technol. 1974. Vol. 11. N 6. P. 1151–1156.
- [4] Слободенюк Г. М. Квадрупольные масс-спектрометры. М.: Атомиздат, 1974. 267 с.
- [5] Dawson P. H. // J. Vac. Sci. Technol. 1986. Vol. A4 (3). P. 1709–1714.
- [6] Справочник по специальным функциям / Под ред. М. Абрамовича и И. Стиган. М.: Наука, 1979. С. 532–558.
- [7] Dawson P. H., Bingoi Yu. // Int. J. Mass-Spectrom. Ion. Proces. 1984. Vol. 56. P. 25–39.
- [8] Dawson P. H. // Int. J. Mass-Spectrom. Ion Proces. 1974. Vol. 14. P. 317–337.
- [9] Dawson P. H. Quadrupole Mass-Spectrometry and Its Applications. Amsterdam, 1976. 274 p.

Поступило в Редакцию  
22 февраля 1989 г.  
В окончательной редакции  
22 мая 1989 г.